

# Силовые алгоритмы (Л. 6)

Апанович З.В.

[apanovich@iis.nsk.su](mailto:apanovich@iis.nsk.su)

Тел:3309344

К. 217

# Методы размещения, основанные на физических аналогиях

- Методы, основанные на физических аналогиях очень популярны по следующим причинам:
- 1) они очень интуитивны;
- 2) их легко понять и запрограммировать;
- 3) для графов размером порядка 150 вершин дают вполне удовлетворительные результаты;
- 4) размещения, получаемые при помощи этих алгоритмов, являются эстетически приятными, показывают симметрию и порождают (если это возможно) размещения без пересечений ребер
- 5) Их легко настраивать на новые приложения

# Методы размещения, основанные на физических аналогиях

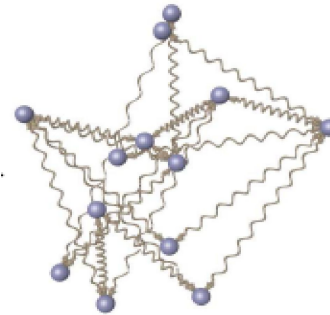
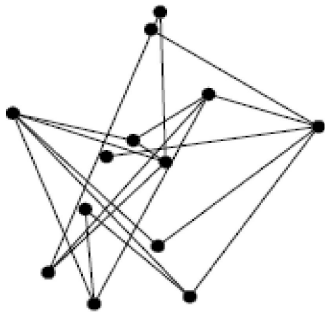
- Основу любого силового алгоритма составляют две компоненты:
- **модель**, описывающая физические объекты (соответствующие вершинам и ребрам графа) и взаимодействие между этими объектами
- **алгоритм**, который (приблизительно) вычисляет состояние равновесия для этой системы
- Описание **модели** основывается на том, какое изображение можно считать хорошим **в каждом конкретном случае**.
- С моделью связывается **целевая функция**, описывающая конкретное понятие «хорошести»
- **Алгоритм** служит для оптимизации целевой функции.

## Методы размещения, основанные на физических аналогиях (общие рассуждения)

- Рассмотрим, к примеру, связный неориентированный граф  $G(V, E)$  и попробуем получить **прямолинейное** изображение этого графа, обладающее следующими свойствами:
  - 1) Вершины **равномерно** распределены на поверхности изображения.
  - 2) Смежные вершины (соединенные ребром) должны быть расположены **примерно на одинаковом расстоянии** друг от друга.

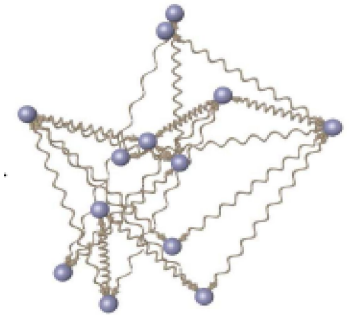
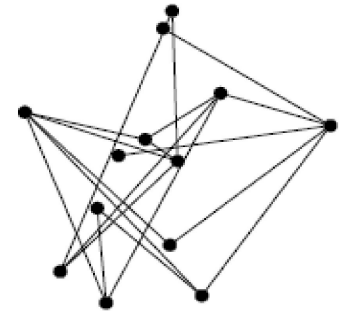
# Методы размещения, основанные на физических аналогиях (общие рассуждения)

- Эти пожелания можно обосновать только интуитивно.
- Равномерное распределение вершин уменьшает **беспорядок**,
- а одинаковая длина ребер дает впечатление **неискаженного** изображения.
- Поскольку понятия «искажение» и «беспорядок» уже имеются в физике, можно пообсуждать физические аналогии, где встречаются такие понятия.
- Равномерное распределение можно искать для движущихся объектов.
- Достаточно естественно представить вершины как заряженные шары, которые отталкиваются друг от друга для удовлетворения первого критерия.
- А чтобы смежные вершины не разбежались слишком далеко, их можно соединить чем-то, например, пружинами, соответствующими ребрам.



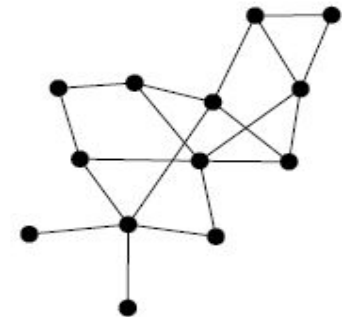
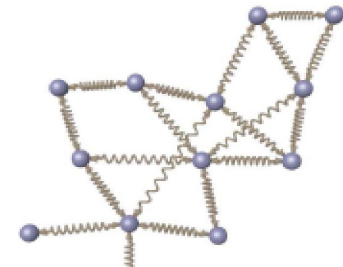
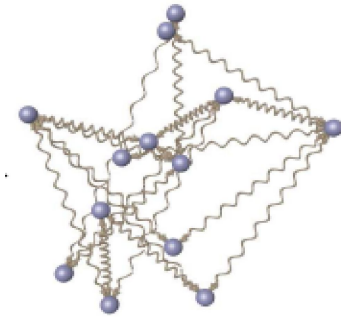
# Методы размещения, основанные на физических аналогиях (общие рассуждения)

- Пружины подходят больше, чем жесткие палки или веревки, так как они могут и удлиняться и сжиматься. Чем сильнее отклонение от «естественной длины» тем больше будет сила, действующая на них, чтобы вернуть пружины к заданной длине. При этом небольшое искажение естественной длины неизбежно, так как чаще всего невозможно изобразить весь граф с прямыми ребрами одинаковой длины.
- Доказано, что проблема выяснения имеет ли произвольный граф прямолинейное размещение с ребрами **равной** длины в любом количестве измерений является *NP*-полной (1982, Джонсон).



# Методы размещения, основанные на физических аналогиях (общие рассуждения)

- Если система описана, и объектам разрешено двигаться под влиянием действующих на них сил, то она постепенно придет в состояние равновесия, в котором все силы уравниваются друг друга и взяв изображение, соответствующее этому положению равновесия, мы получим изображение, **приблизительно** удовлетворяющее указанным выше критериям.



# Силовые алгоритмы (Spring embedder, Eades 1984)

Дан связный неориентированный граф  $G = (V, E)$

- Пусть  $P = (p_v)$ ,  $v \in V$  – это вектор позиций вершин. Каждая вершина  $v$  имеет координату  $p_v = (x_v, y_v)$ .
- Расстояние между вершинами  $\|p_v - p_u\|$  - это Евклидово расстояние.

- Будем обозначать

$$\overrightarrow{p_u p_v} = \frac{p_v - p_u}{\|p_v - p_u\|}$$

- Единичный вектор, направленный от  $p_u$  к  $p_v$ .
- Эстетичность размещения описывалось словами: «все ребра должны быть одинаковой длины, а размещение должно быть как можно более симметричным».



# Силовые алгоритмы (Eades 1984)

- 1) Сила отталкивания действует между каждой парой **не-смежных** вершин:  $u, v \in V$

$$f_{rep}(p_u, p_v) = \frac{c_{rep}}{\|p_v - p_u\|^2} \overrightarrow{p_u p_v} \quad \text{Где } c_{rep} \text{ является константой}$$

- 2) Дополнительно, силы пружины между **смежными** вершинами будут держать их близко друг к другу.

$$f_{spring}(p_u, p_v) = c_{spring} \log \frac{\|p_u - p_v\|}{l} \overrightarrow{p_v p_u}$$

Где  $c_{spring}$  - это параметр, управляющий силой пружины

$l$  - «естественная» длина пружины

# Силовые алгоритмы (Eades 1984)

Алгоритм **Spring embedder** (Eades 1984)

**Вход:** связный неориентированный граф  $G = (V, E)$  и начальное размещение его вершин  $p = (p_v)_{v \in V}$

**Выход:** Размещение с низким внутренним напряжением

**for**  $t := 1$  **to** *Количество\_итераций* **do**  
  **for**  $v \in V$  **do**{

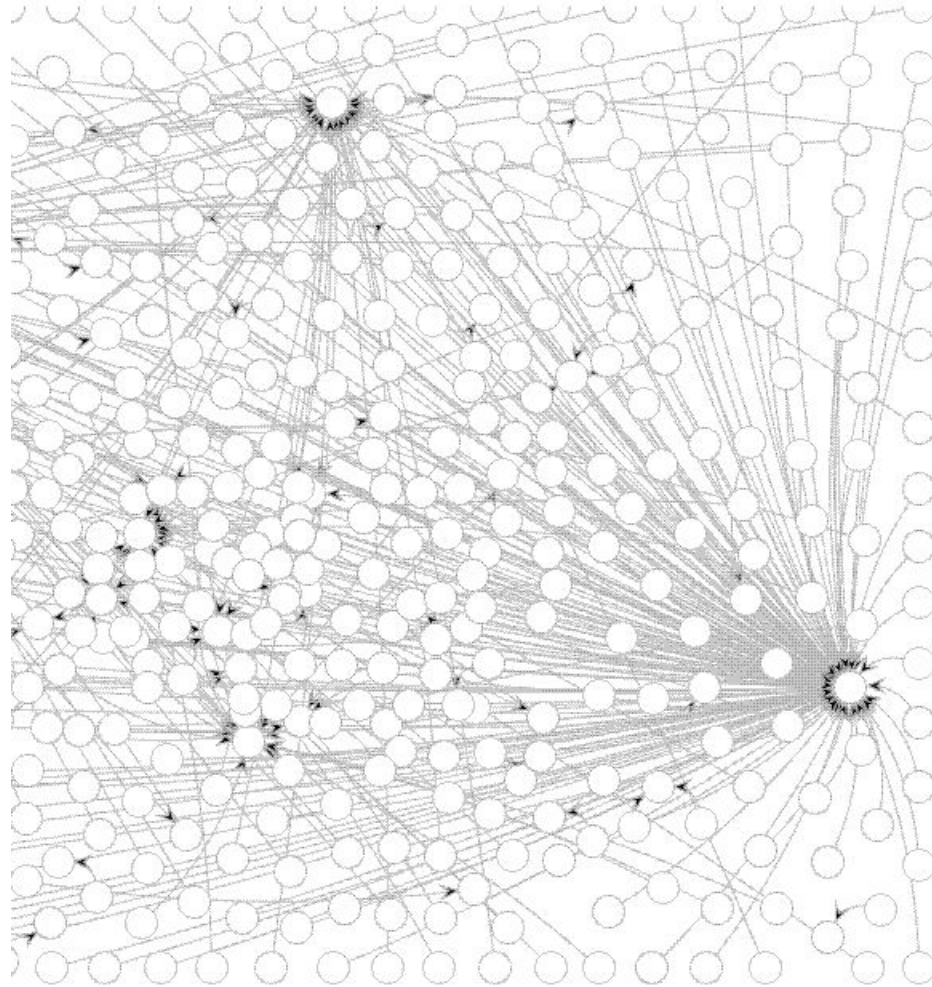
$$F_v(t) < - \sum_{u:\{u,v\} \notin E} f_{rep}(p_u, p_v) + \sum_{u:\{u,v\} \in E} f_{spring}(p_u, p_v)$$

**for**  $v \in V$  **do**  $p_v := p_v + \delta F_v(t)$

}

У Идеса:  $C_{spring} = 2$ ,  $C_{rep} = 1$ ,  $l = 1$ ,  $\delta = 0.1$ , кол-во итераций = 100.

# Пример изображения, порождаемого алгоритмом Eades



# Силовые алгоритмы (Fruchterman & Reingold, 1991)

- Алгоритм Фрюхтермана и Рейнгольда 1991 года ввел критерий **равномерного распределения** и попробовал его формализовать.
- Также ввел несколько модификаций, направленных, в основном, на ускорение работы алгоритма, так как результаты, получаемые этим алгоритмом, весьма похожи на результаты работы алгоритма Идеса.

# Fruchterman&Reingold(1991). Модификация сил, действующих на вершины

Силы отталкивания действуют между **каждой** парой вершин

$$f_{rep}(p_u, p_v) = \frac{l^2}{\|p_u - p_v\|} \longrightarrow p_u p_v \quad \text{для всех } (u, v) \in V$$

Силы **притяжения** действуют только между **смежными** вершинами.

$$f_{attr}(p_u, p_v) = \frac{\|p_u - p_v\|^2}{l} \longrightarrow p_v p_u$$

Сила пружины вычисляется как сумма этих сил

$$F_{spring}(p_u, p_v) = f_{attr}(p_u, p_v) + f_{rep}(p_u, p_v)$$

# Fruchterman&Reingold(1991).

- Сила притяжения вычисляется быстрее, потому что не надо вычислять корень.
- Процесс быстрее сходится к решению, за счет того, что увеличено влияние компоненты расстояния (квадратный показатель степени).

# Силовые алгоритмы (Fruchterman & Reingold, 1991)

1.  $area := W * L$ ; {W и L – это ширина и длина фрейма}
2.  $G := (V, E)$ ; вершинам присваиваются случайные начальные позиции
3.  $l := \sqrt{area/|V|}$ ; /\* идеальная длина зависит от площади и количества вершин\*/
4. function  $f_{rep}(x) := \text{begin return } l^2/x \text{ end}$ ;
5. function  $f_{atr}(x) := \text{begin return } x^2/l \text{ end}$ ;
6. for  $i := 1$  to iterations do begin

# Силовые алгоритмы (Fruchterman & Reingold, 1991)

- ```
/* вычислить силы отталкивания, действующие на каждую
   вершину со стороны всех остальных вершин и смещение
   вершины под влиянием силы отталкивания: */
```
- for v in V do begin {
    - /\* каждая вершина имеет два вектора: .pos и .disp \*/
    - v.disp := 0;
    - for u in V do {
      - if (u ≠ v) then begin
      - /\* δ-это вектор разностей между позициями двух вершин\*/
      - $\delta := v.pos - u.pos;$
      - $v.disp := v.disp + (\delta/|\delta|) * f_{rep}(|\delta|)$
      - }
  - }



# Силовые алгоритмы (Fruchterman & Reingold, 1991)

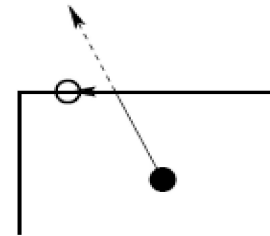
- /\*вычислить силы притяжения между двумя смежными вершинами смещения обеих вершин под влиянием силы притяжения:\*/
- for e in E do {
- /\*каждое ребро это упорядоченная пара вершин .v и .u\*/
- $\delta := e.v.pos - e.u.pos;$
- $e.v.disp := e.v.disp - (\delta/|\delta|) \cdot f_{atr}(|\delta|);$
- $e.u.disp := e.u.disp + (\delta/|\delta|) \cdot f_{atr}(|\delta|);$
- }

# Силовые алгоритмы (Fruchterman & Reingold, 1991)

- /\*ограничить max\_смещение температурой t и предотвратить перемещения за границу фрейма\*/
- for v in V do {
- v.pos := v.pos +(v.disp/[v.disp|) \* min(v.disp, t);
- v.pos.x := min(W/2, max(-W/2, v.pos.x));
- v.pos.y := min(L/2, max(-L/2, v.pos.y))
- }
- /\*уменьшить температуру по мере приближения размещения к лучшей конфигурации\*/
- t := cool(t)
- }

# Модификации, связанные с вектором смещения

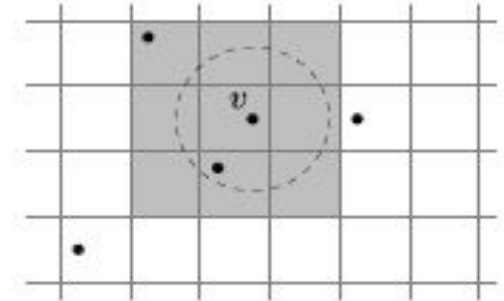
- 1) вместо использования константного множителя  $\delta$  ввели смещение, зависящее от температуры  $\delta(t)$  и постепенно убывающее, чтобы избежать излишних перескоков вершин, особенно на заключительных этапах
- 2) Для того, чтобы вершины не выскакивали из заданной области, производится обрезка вектора, оставляющая вершину на границе области



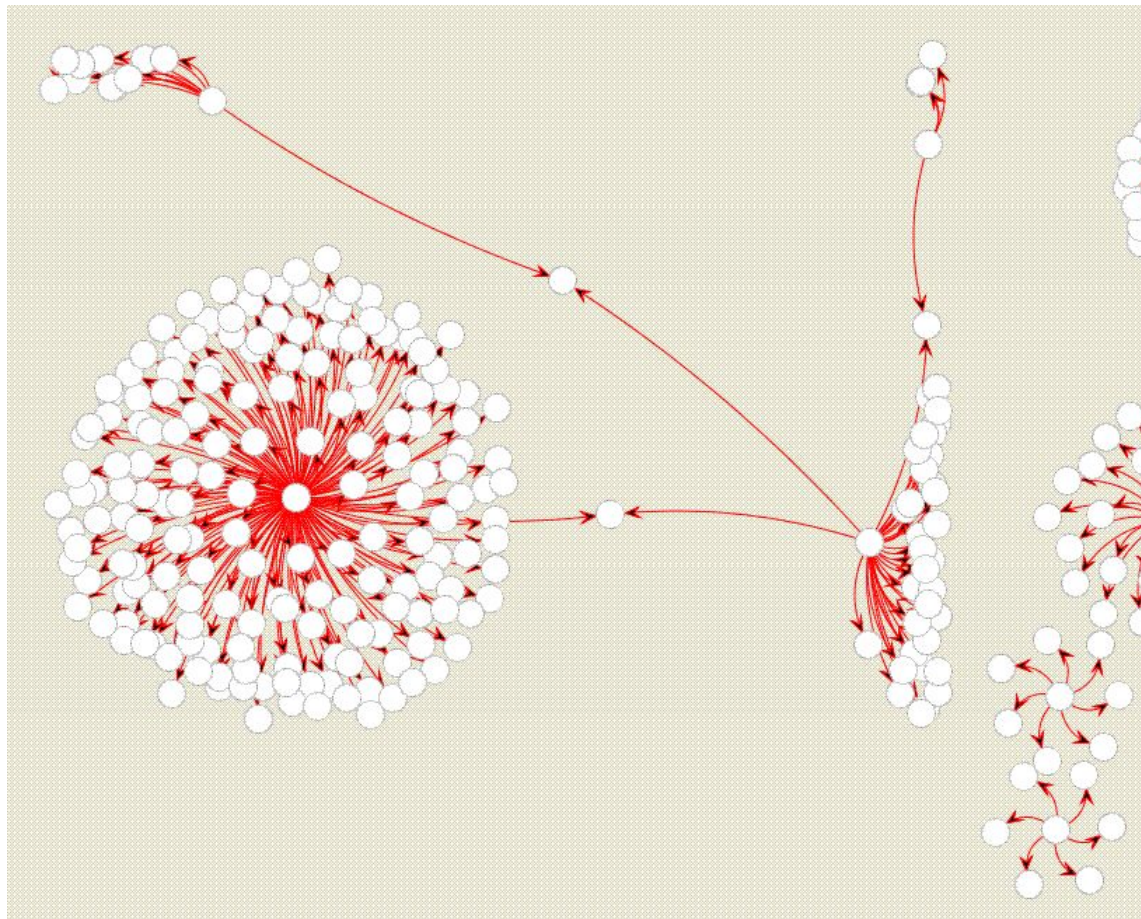
# Fruchterman&Reingold(1991)

На каждой итерации базовый алгоритм вычисляет  $O(|E|)$  сил притяжения и  $O(|V|^2)$  сил отталкивания. Для уменьшения квадратичной сложности сил отталкивания Фр&Ре предложили использовать **сеточный** вариант их базового алгоритма, где силы отталкивания между отдаленными вершинами игнорируются.

- Поскольку отталкивание отдаленных вершин не сильно влияет на вектор смещения, то эти несущественные вершины отбрасываются из суммы сил отталкивания. Рассматриваются только вершины, расположенные в узлах сетки, близких к узлу  $v$  и, если их расстояние меньше заданного порога, только тогда вычисляется сила отталкивания. Это позволяет оценку по времени  $O(n)$  для вычисления сил отталкивания.



# Пример изображения, получаемого алгоритмом Fruchterman-Reingolda



# Силы гравитации и алгоритм Frick

- Одной пружинной модели оказалось недостаточно, поскольку обнаружилось, что в случае несвязного графа или слабо связанных компонент эти несвязанные компоненты будут разлетаться в разные стороны из-за недостатка сил притяжения. Эти слабосвязанные компоненты размещаются далеко друг от друга так что ребра между ними неэстетично длинны.
- Спорный вопрос!

# Силовые алгоритмы (Frick et al, 1995)

- Поэтому в работе (Frick et al 1995) была введена еще дополнительная сила: **сила гравитации**, которая зависит от количества ребер, инцидентных вершине  $v$ , то есть, от степени вершины  $v$ .
- Другое заметное улучшение касается ускорения сходимости алгоритма. Силы отталкивания и притяжения были изменены так, чтобы не надо было вычислять квадратный корень:

# Силовые алгоритмы (Frick et al, 1995)

- То есть,  
вершины с  
высокой  
степенью  
движутся  
медленнее,  
они ведь  
«тяжелые»

$$f_{rep}(p_u, p_v) = \frac{l^2}{\|p_v - p_u\|^2} \overrightarrow{p_u p_v}$$

$$f_{attr}(p_u, p_v) = \frac{\|p_u - p_v\|^2}{l \cdot \Phi(v)} \overrightarrow{p_v p_u}$$

$$\Phi(v) = 1 + \frac{\mathbf{deg}(v)}{2}$$



# Силловые алгоритмы (Frick et al, 1995)

- Кроме того, была введена сила гравитации, которая толкает каждую вершину к общему центру тяжести.

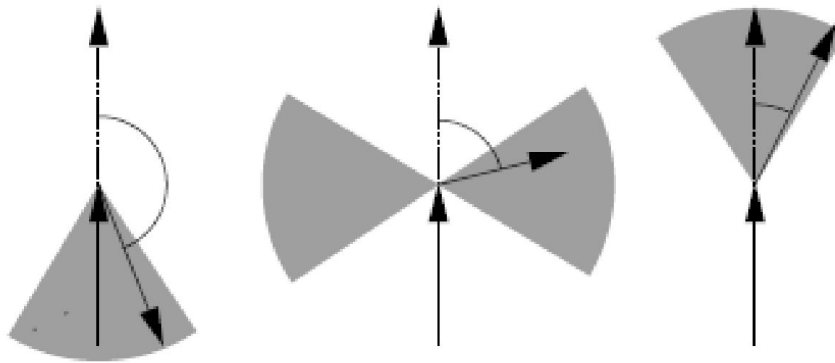
$$B = \frac{1}{|V|} \sum_{w \in V} p_w$$

$$F_{grav}(v) = \Phi(v) \cdot c_{grav} \cdot \overrightarrow{(B - p_v)}$$

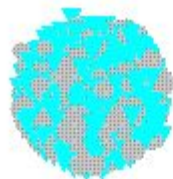
$$\Phi(v) = 1 + \frac{\mathbf{deg}(v)}{2}$$

# Силовые алгоритмы (Frick et al, 1995)

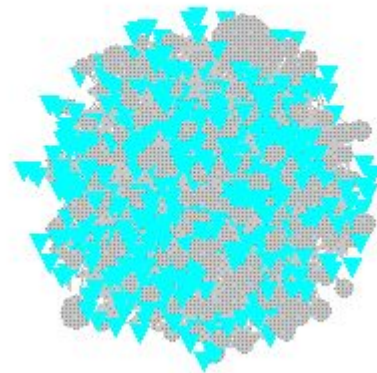
- Чтобы уменьшить количество итераций, вектор  $F_v(t-1)$  запоминался и сравнивался с  $F_v(t)$
- То есть вычислялся угол  $\alpha = \angle (F_v(t-1), F_v(t))$ . Если угол небольшой, то есть движение происходит в том же самом направлении, то  $\delta_v(t)$  выбирался побольше, а если угол большой, то есть направление движения вершины менялось, то  $\delta_v(t)$  выбирался поменьше.
- Также подсчитывалась мера поворота, если угол  $\alpha = \angle (F_v(t-1), F_v(t))$  близок к  $90^\circ$ , то  $\delta_v(t)$  тоже понижалось.



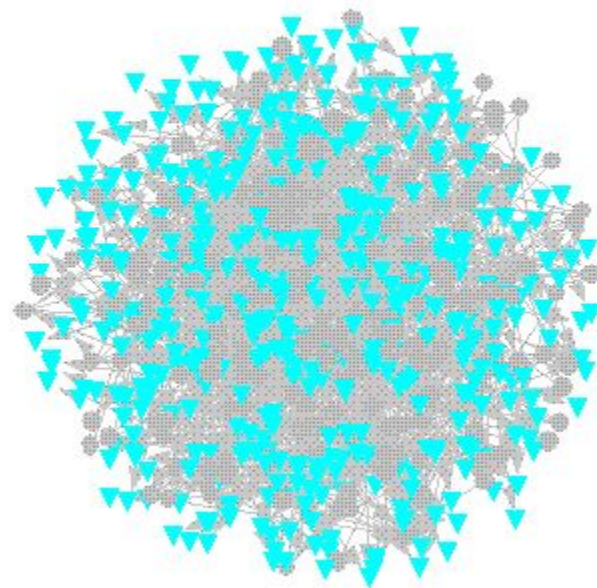
# Силовые алгоритмы (Frick et al, 1995)



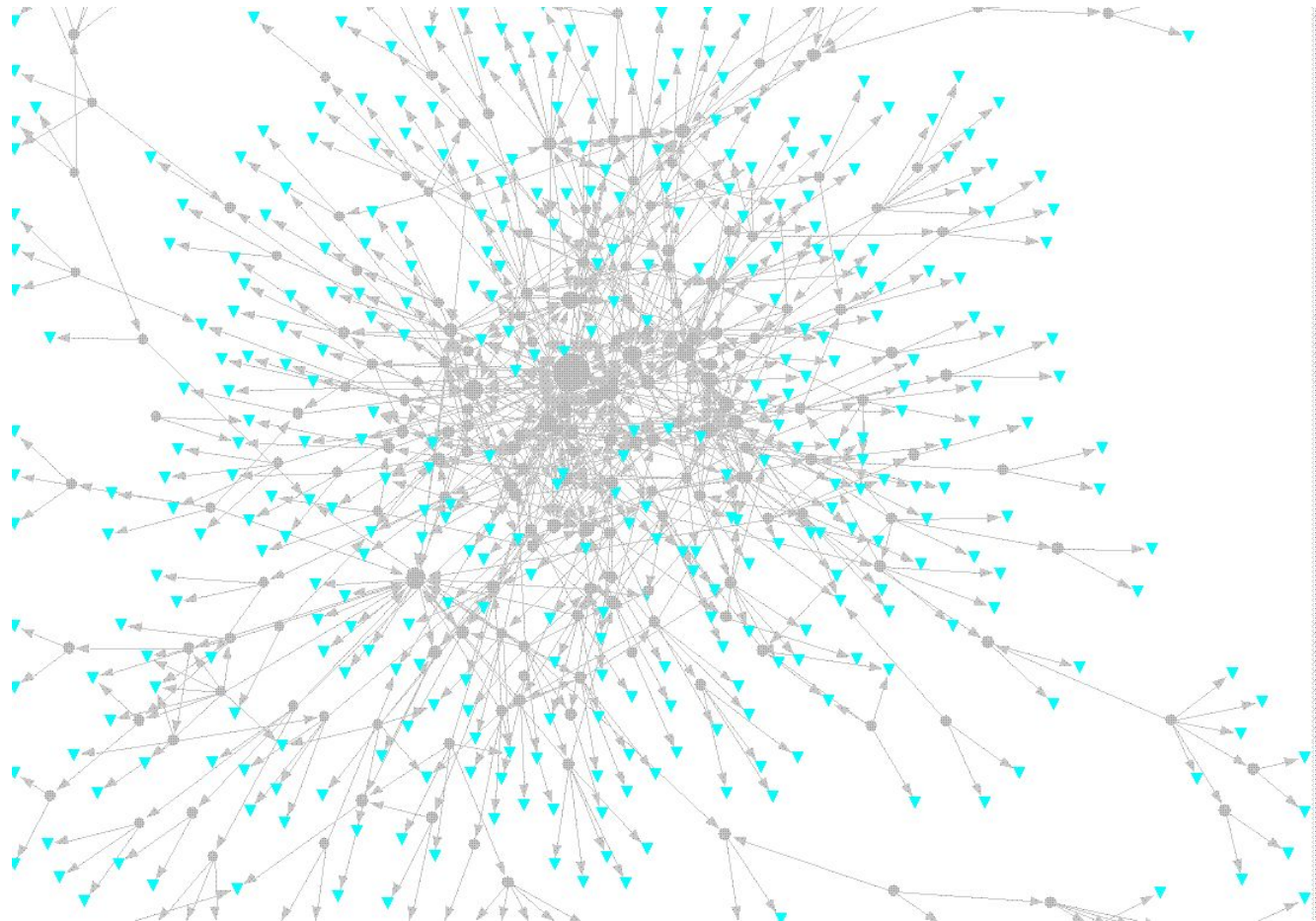
# Силовые алгоритмы (Frick et al, 1995)



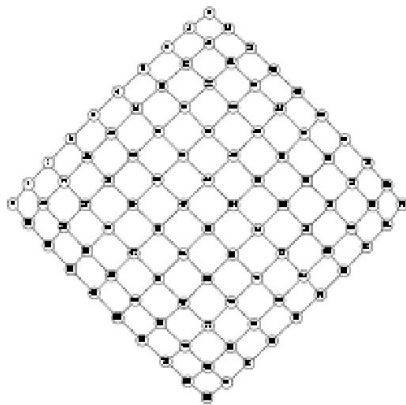
# Силовые алгоритмы (Frick et al, 1995)



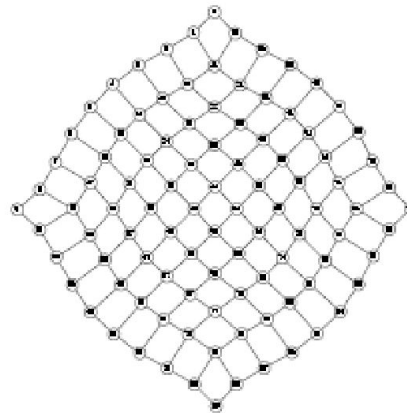
# Силовые алгоритмы (Frick et al, 1995)



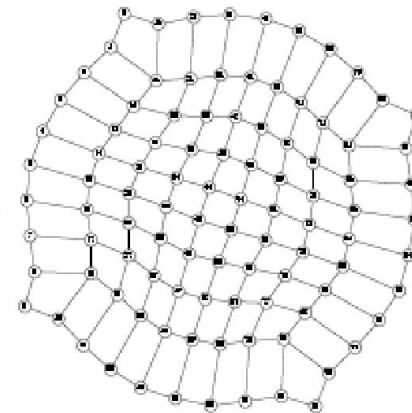
# Силовые алгоритмы, сила гравитации



Нет силы гравитации



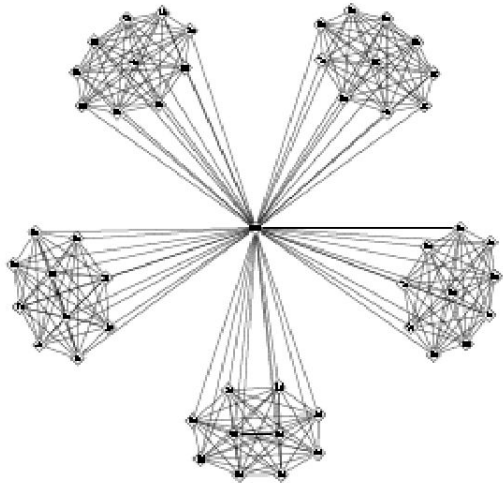
коэфф. гравитации  
= 0,6



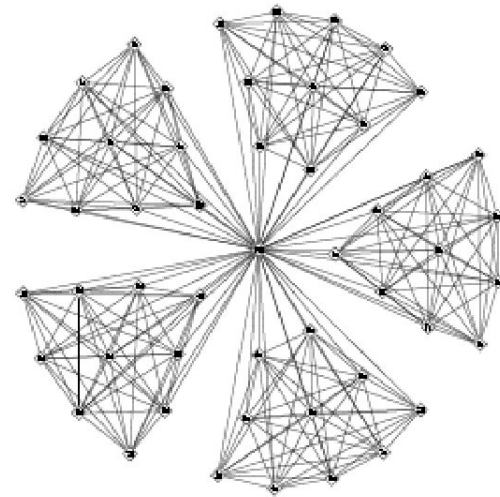
Кэфф. гравитации  
= 1,5

Поскольку силы гравитации направлены к центру тяжести, они налагают круговую структуру размещения

# Силовые алгоритмы, сила гравитации



нет силы гравитации

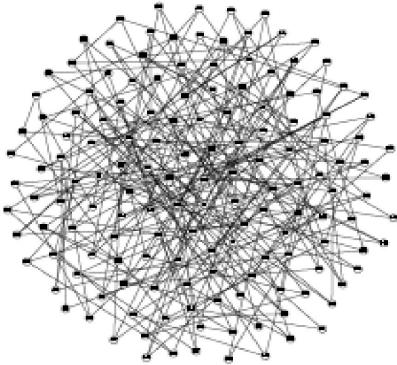


коэфф. гравитации = 2,0

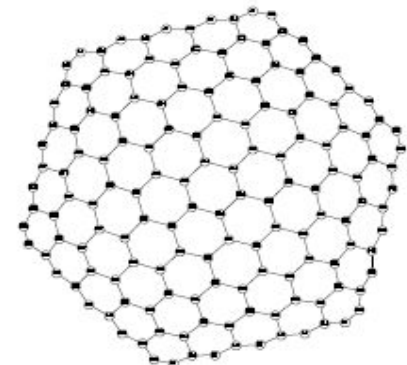
Специфика гравитации становится заметна, если в графе есть слабо связанные плотные части. В этом случае без гравитации длина ребер сильнее различается, чем при гравитации.



# Силовые алгоритмы



Если есть сила гравитации и отталкивания, вершины равномерно распределяются вокруг центра тяжести, но при этом совершенно не просматривается регулярность, индуцируемая структурой ребер. Результат работы силового алгоритма с использованием силы гравитации и отталкивания зарядов без использования пружинного притяжения



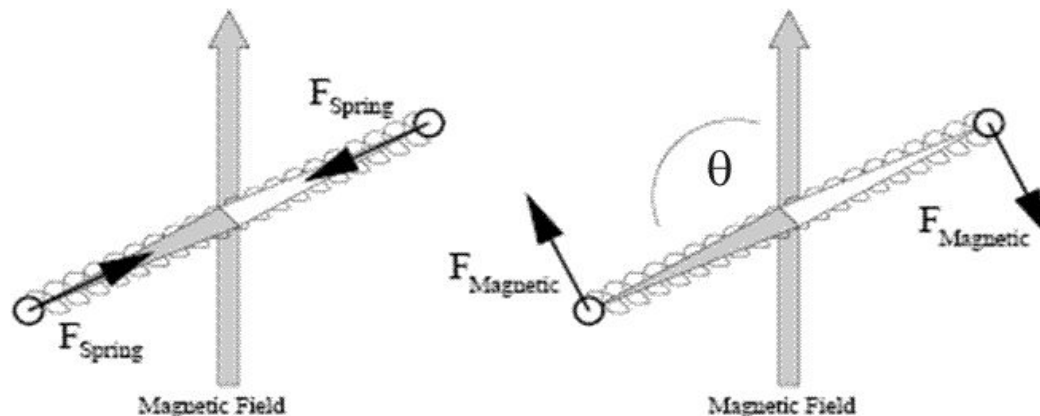
Результат работы силового алгоритма с использованием силы гравитации, силы отталкивания и силы притяжения пружин

# Магнитное поле.

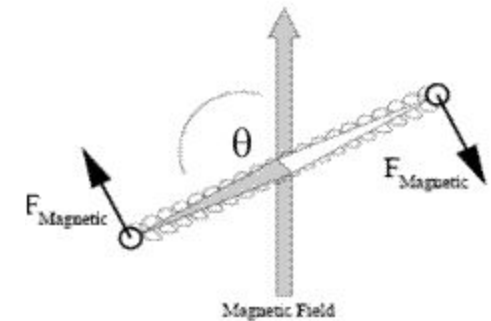
Sugiyama, Misue “A simple and unified method for drawing graphs: magnetic-spring algorithm” 1995.

Пружинные алгоритмы не берут в расчет направления ребер. В **ориентированных графах** желательно, чтобы все ребра были направлены в одну сторону.

Для решения этой проблемы Sugiyama, Misue предложили модель пружины, которая одновременно является магнитом и может вращаться в магнитном поле, как стрелка компаса.



# Магнитное поле.



Сила магнитного поля, действующая на ребро, соединяющее вершины  $u$  и  $v$ , определяется по формуле:

$$F_m(u, v) = c_m d(u, v)^\alpha \theta^\beta \xrightarrow{p_u p_v} \perp$$

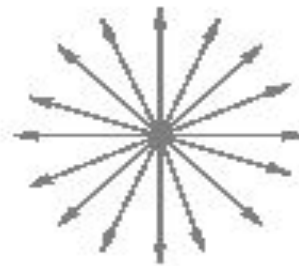
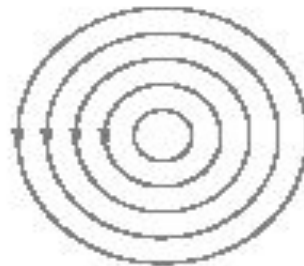
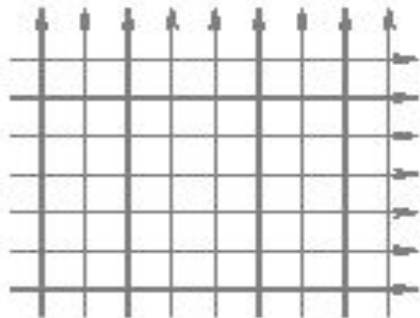
$c_m$  – константа, управляющая силой магнитного поля  
 $\theta$  - угол между текущим направлением ребра ( $u, v$ ) и направлением магнитного поля

$\xrightarrow{p_u p_v} \perp$  - это вектор единичной длины,  
перпендикулярный вектору  $\xrightarrow{p_u p_v}$   
и направленный в сторону **уменьшения**  
**угла  $\theta$** .

- $c_m, \alpha, \beta > 0$  параметры настройки системы

# Магнитные поля [SM95]

- Разные типы магнитных полей:
- Параллельное: все силы действуют в одном направлении, может быть полезно для получения изображений, направленных сверху вниз
- Концентрическое: сила действует по концентрическим окружностям, выделяет циклы
- Радиальное: сила действует радиально из некоторой точки

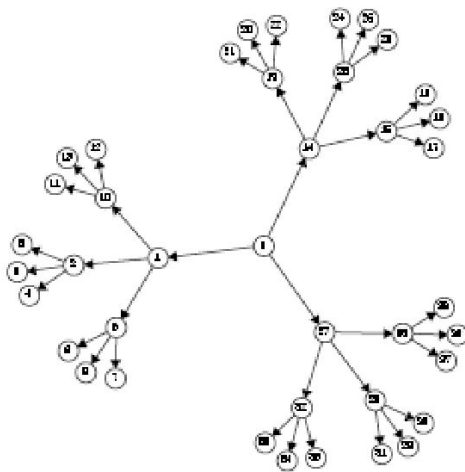


- Магнитные силы комбинируются с электрической силой и силой пружины
- Алгоритм поиска равновесия
  - Случайное начальное размещение и на каждой итерации смещать вершину в позицию с более низкой энергией

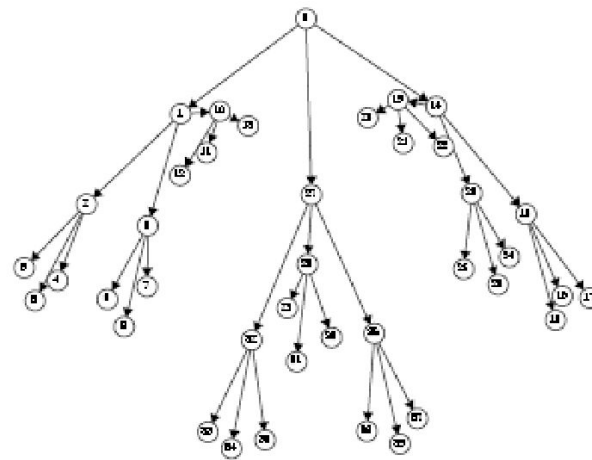
Эта стратегия:

- Может размещать **ориентированные** графы (однонаправленные пружины с одним из трех полей)
- Может размещать **ортогональные** изображения, если применять комбинацию горизонтального и вертикального поля, а вершинам позволить принимать два направления
- Может размещать изображения с линиями под углом  $45^\circ$  (карты железных дорог, метро, путей)
- Успешно применяется к смешанным графам (графы, которые имеют одновременно и ориентированные и неориентированные ребра)

# Влияние магнитного поля

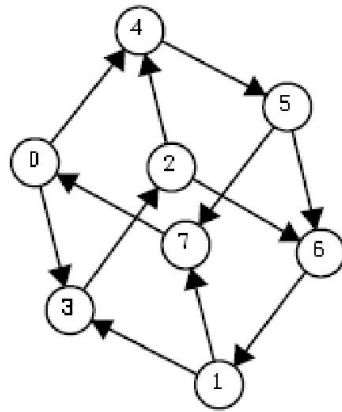


Нет магнитного поля

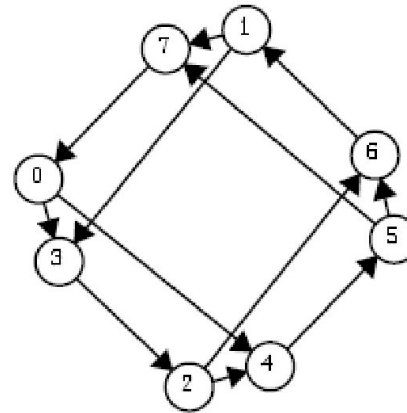


Параллельное магнитное поле

# Влияние магнитного поля

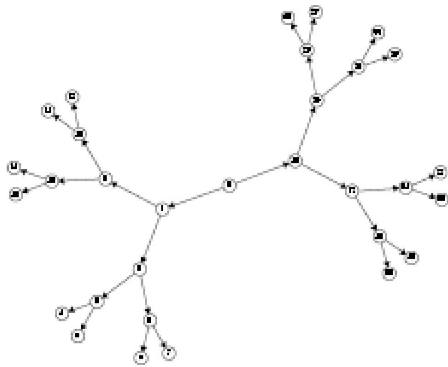


Нет магнитного поля

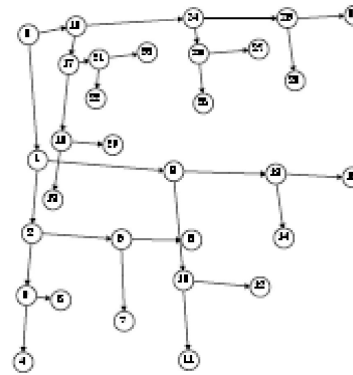


концентрическое магнитное поле

# Влияние магнитного поля



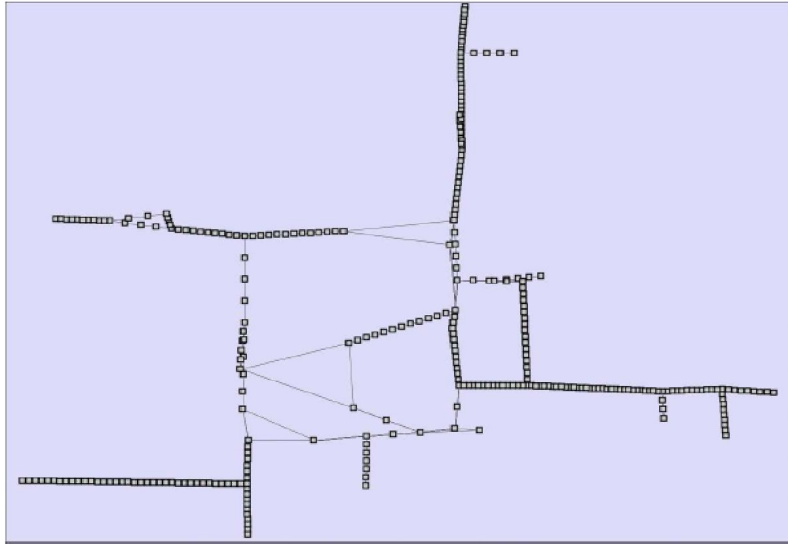
Нет магнитного поля



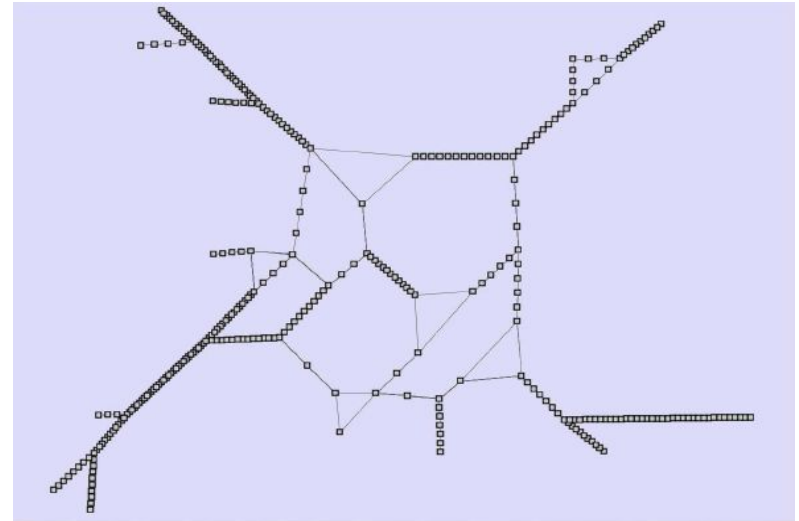
ортогональное магнитное поле



# S.Hong, D.Merrick H.Nascimento Automatic Visualization of Metro Maps, 2006



План метро Сиднея, с применением ортогонального магнитного поля



План метро Сиднея с применением магнитного поля под углом 45 градусов

# Размещения, основанные на энергии

- Силы, определенные в предыдущих алгоритмах, указывают, в каком направлении надо сдвинуть вершину, чтобы уменьшить силы, действующие на нее.
- Вместо того, чтобы описывать **силы**, действующие на вершину, можно попробовать описать энергию и попробовать минимизировать эту **энергию**.

# [Kamada, Kawai 89]

- В 1989 году Камада и Кавай ввели другой взгляд на то, что считать хорошим размещением.
- В то время как алгоритмы Идеса и Фрюхтермана-Рейнгольда стараются держать смежные вершины (связанные ребром), на одинаковом идеальном расстоянии, Камада и Кавай предложили рассматривать в качестве идеального расстояния между любыми вершинами соответствующее расстояние между ними по графу, вычисляемое как кратчайший путь между всеми парами вершин.
- Поскольку эта цель не всегда может быть достигнута для произвольных двумерных и трехмерных графов евклидова пространства, подход пытается привести систему пружин в такое состояние, что минимизация энергии системы соответствует минимизации разницы между Евклидовым расстоянием и расстоянием по графу.

## [Kamada, Kawai 89]

- Была взята за основу потенциальная энергия пружины, имеющей **естественную** длину  $l$ , растянутой до длины  $d$ :
- $E_{KK} = k_{spring} \cdot (d - l)^2$
- В этой модели нет отдельных сил притяжения и отталкивания. Вместо этого, вершины притягиваются или отталкиваются в зависимости от того, больше или меньше евклидово расстояние между ними, чем расстояние по графу. Разница расстояний подсчитывается по **полному** графу.

## [Kamada, Kawai 89]

- Пусть  $d_{ij}$  означает длину кратчайшего пути между вершинами  $i$  и  $j$  в графе  $G(V, E)$ .
- $L$  - это длина единичного ребра на дисплее.
- Тогда  $l_{ij} = L * d_{ij}$  - это идеальная длина пружины, соединяющей вершины  $i$  и  $j$ .
- Камада и Кавай предложили использовать в качестве  $L = L_0 / \max_{i < j} d_{ij}$ , где  $L_0$  - это длина стороны дисплея, а  $\max_{i < j} d_{ij}$  - это диаметр графа, то есть расстояние между двумя наиболее удаленными вершинами. Сила пружины между вершинами  $i$  и  $j$  определяется как

$$k_{ij} = \frac{K}{d_{ij}^2}$$

- где  $K$ - это константа.

## [Kamada, Kawai 89]

- Таким образом, получаем следующую функцию энергии:

$$E_{KK} = \sum_{i=1}^{n-1} \sum_{j=i+1}^n \frac{1}{2} k_{ij} (\| p_i - p_j \| - l_{ij})^2.$$

Координаты частицы  $p_i$  в Евклидовой плоскости определяются значениями  $x_i$  и  $y_i$ , что позволяет переписать функцию энергии следующим образом:

$$E_{KK} = \sum_{i=1}^{n-1} \sum_{j=i+1}^n \frac{1}{2} k_{i,j} ((x_i - x_j)^2 + (y_i - y_j)^2 + l_{i,j}^2 - 2l_{i,j} \sqrt{(x_i - x_j)^2 + (y_i - y_j)^2})$$

[Kamada, Kawai 89]

- Требуется найти такие значения переменных, которые минимизируют функцию энергии  $E_{KK}(x_1, x_2, \dots, x_n, y_1, y_2, \dots, y_n)$ .
- Поскольку известно, что в локальном минимуме все частные производные равны 0, это соответствует решению системы из  $2n$  **нелинейных** уравнений.

## [Kamada Kawai 89]

- Уравнение можно решить при помощи итеративного подхода
- На каждом шаге перемещается одна вершина, которая минимизирует энергию, в то время как остальные вершины остаются зафиксированными
- Выбирается вершина, на которую действует наибольшая сила, то есть на каждом шаге этого алгоритма выбирается частица  $p_m$  с наибольшим значением градиента  $\Delta_m$ , где

$$\Delta_m = \sqrt{\left(\frac{\partial E_{KK}}{\partial x_m}\right)^2 + \left(\frac{\partial E_{KK}}{\partial y_m}\right)^2}$$

Все остальные вершины фиксируются, и энергия локально минимизируется перемещением одной вершины  $m$



# [Kamada, Kawai 89]

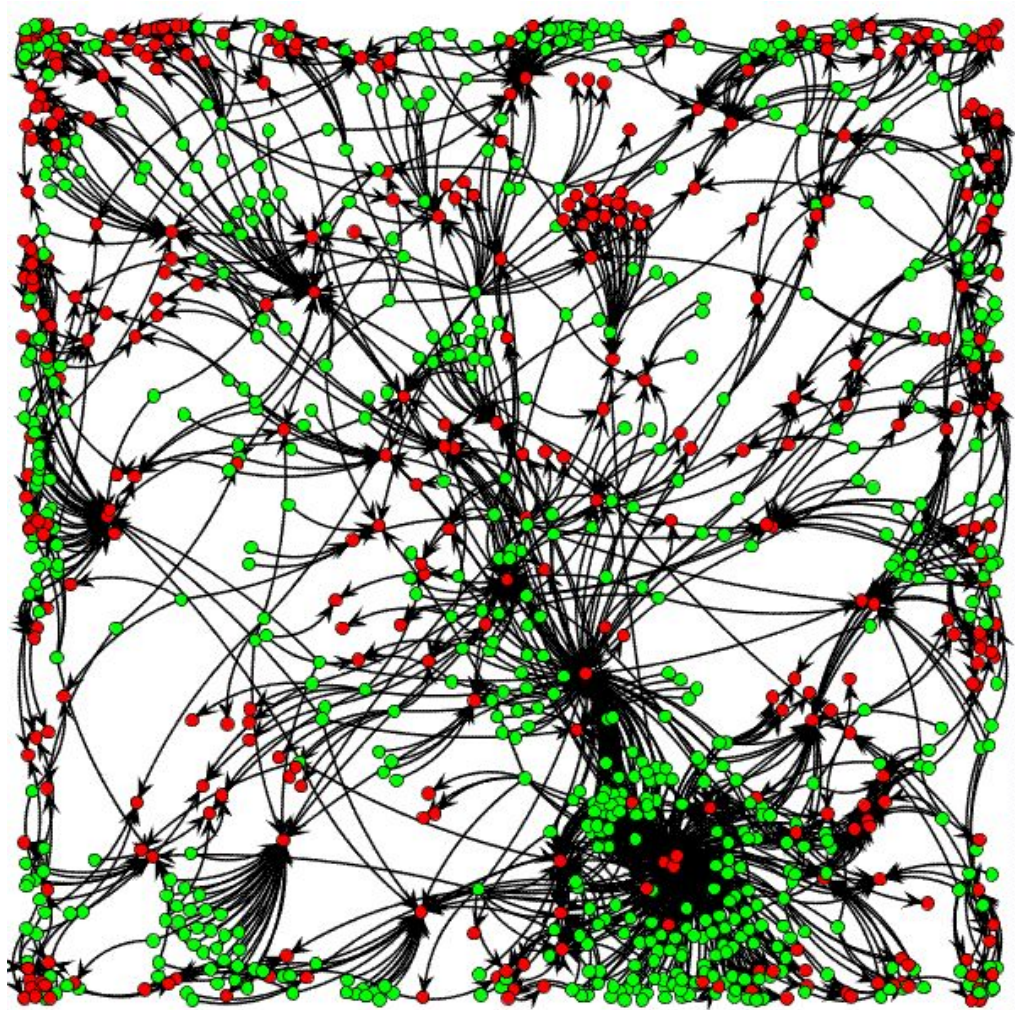
- Вычислить  $d_{i,j}$  for  $1 \leq i \neq j \leq n$ ;
- Вычислить  $l_{i,j}$  for  $1 \leq i \neq j \leq n$ ;
- Вычислить  $k_{i,j}$  for  $1 \leq i \neq j \leq n$ ;
- initialize  $p_1, p_2, \dots, p$ ;
- **while** ( $\max_i \Delta_i > \epsilon$ ) {
  - Пусть  $p_m$  - это частица, удовлетворяющая  $\Delta m = \max_i \Delta_i$ ;
  - **while** ( $\Delta m > \epsilon$ ) {
    - /\*вычислить  $\delta x$  и  $\delta y$  решением следующей системы уравнений: \*/

$$\frac{\partial^2 E_{KK}}{dx_m^2} (x_m^{(t)}, y_m^{(t)}) \delta x + \frac{\partial^2 E_{KK}}{\partial x_m \partial y_m} (x_m^{(t)}, y_m^{(t)}) \delta y = -\frac{\partial E_{KK}}{\partial x_m} (x_m^{(t)}, y_m^{(t)});$$

$$\frac{\partial^2 E_{KK}}{dx_m \partial y_m} (x_m^{(t)}, y_m^{(t)}) \delta x + \frac{\partial^2 E_{KK}}{\partial y_m^2} (x_m^{(t)}, y_m^{(t)}) \delta y = -\frac{\partial E_{KK}}{\partial y_m} (x_m^{(t)}, y_m^{(t)});$$

- $x_m := x_m + \delta x$ ;
- $y_m := y_m + \delta y$ ;
- }
- }

# Пример размещения полученного методом Фрюхтерман-Рейнгольда

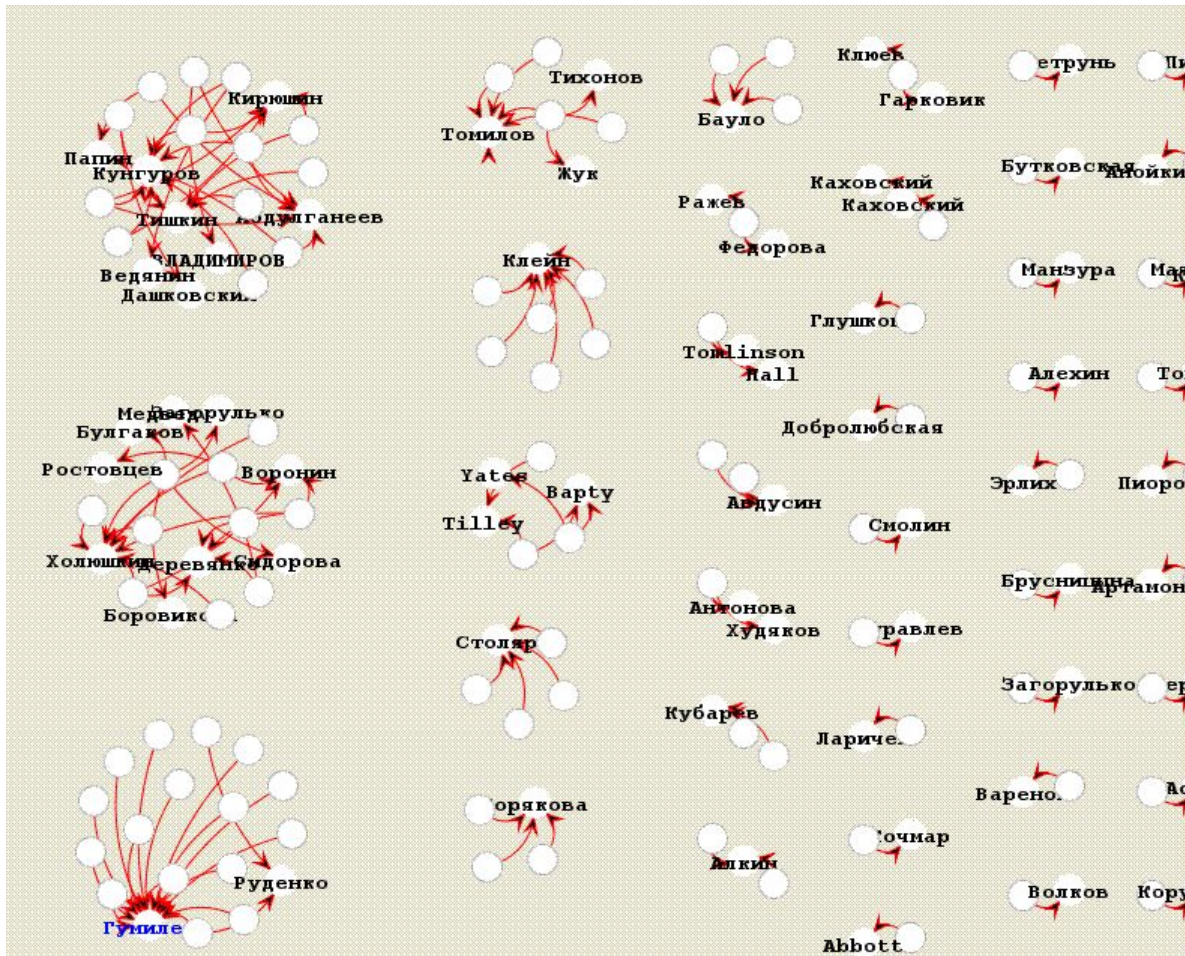








# Пример результата размещения методом Камада-Кавая графа связей Автор\_публикации с предварительным выделением несвязных компонент



## [Kamada, Kawai 89]

- Алгоритм Камада-Кавая является вычислительно затратным, поскольку требует вычисления кратчайших путей между всеми парами вершин, что может быть сделано за время  $O(|V|^3)$ .
- Кроме этого он требует  $O(|V|^2)$  памяти для хранения попарных расстояний между вершинами.
- Несмотря на свою затратность, его достоинством является простое и понятное определение того, что является хорошим размещением.

# Метод барицентров(алгоритм Tutte,63)

- Исторически, метод барицентровТатта 1963 года был первым силовым алгоритмом для получения изображения без пересечений ребер 3-связного планарного графа.
- В отличие от большинства силовых алгоритмов, Татт гарантировал, что результирующее изображение не будет иметь пересечений ребер и более того, все грани изображения будут выпуклыми.
- Идея состоит в том, что если некоторую грань планарного графа зафиксировать на плоскости, то можно найти подходящие позиции для оставшихся вершин решением системы линейных уравнений, где каждая вершина представляется в виде выпуклой комбинации позиций ее соседей.

# Метод барицентров(алгоритм Tutte,63)

- Вместо пружин переменной длины, как у Камада – Кавая, Татт считает, что **идеальная длина всех пружин равна 0**.

$$U_{Tutte}(p) = \sum_{\{u,v\} \in E} \|p_u - p_v\|^2$$

Приравняв частные производные нулю, получаем две независимых системы линейных уравнений по одной на каждую координату.

Эти линейные системы могут быть переписаны в виде

$$(D-A) \cdot x = 0$$

$$(D-A) \cdot y = 0$$

Где A- это матрица смежности графа G , D- это диагональная матрица, где на диагонали стоят степени вершин, x и y –это вектора координат вершин. **Матрица L= D-A** называется Лапласиан.

**Имеется тривиальное решение!**

# Метод барицентров(алгоритм Tutte,63)

- Разбить  $V$  на 2 подмножества: фиксированные вершины (не меньше 3) и свободные вершины
- Для достижения равновесия, выбрать такое размещение  $p_v$ , что  $F_x(v) = 0$  для всех свободных вершин;
- Аналогично, выбрать такое размещение  $p_v$ , что  $F_y(v) = 0$  для всех свободных вершин.

Поэтому,

$$F_x(v) = \sum_{(u,v) \in E} (x_v - x_u) = \deg(v) \cdot x_v - \sum_{w \in N_0(v)} x_w^* - \sum_{u \in N_1(v)} x_u = 0$$

- $\deg(v)$  – это степень вершины  $v$ ,
- $N_0(v)$ : множество **фиксированных** вершин  $v$ ;
- $N_1(v)$ : множество **свободных** соседей вершины  $v$ .



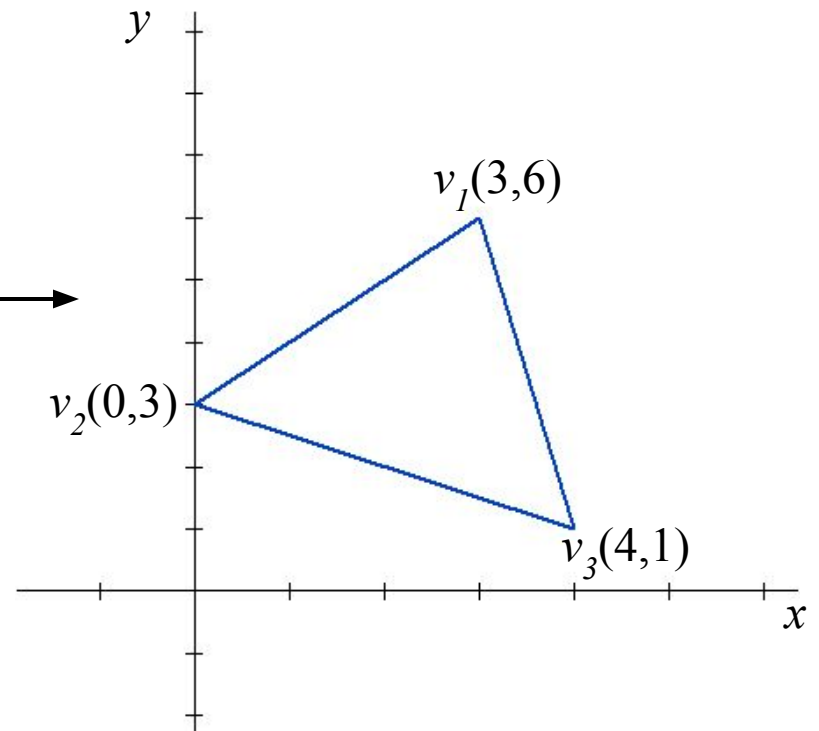
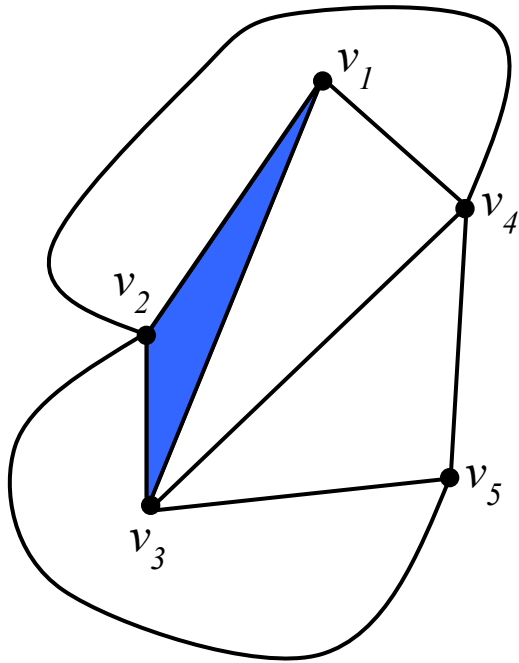
# Метод барицентров(алгоритм Tutte,63)

$$\deg(v)x_v - \sum_{u \in N_1(v)} x_u = \sum_{w \in N_0(v)} x_w^*, \deg(v)y_v - \sum_{u \in N_1(v)} y_u = \sum_{w \in N_0(v)} y_w^*$$

- Все уравнения линейные.
- Количество уравнений и количество неизвестных равны количеству свободных вершин.
- Решается размещением каждой свободной вершины в барицентр ее соседей.
  - Отсюда и название «метод барицентров»

# Пример

$G$ :



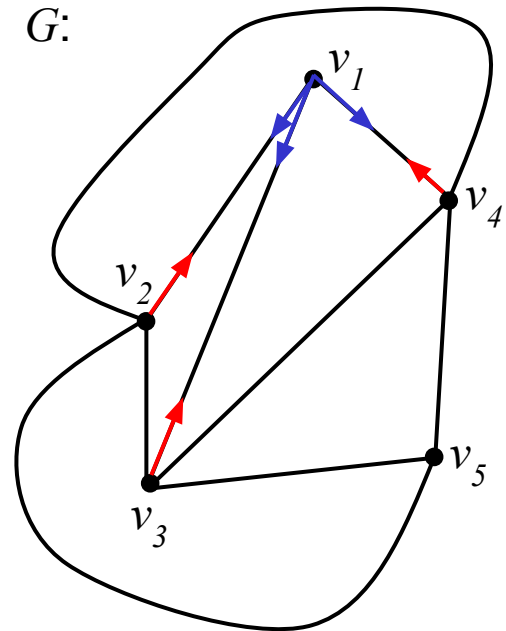
$G$  - 3-связный граф

Сделаем грань  $\{v_1, v_2, v_3\}$  внешней

## Пример (2)

- $V(J) = \{v_1, v_2, v_3\}$
- $N(4) = \{v_1, v_2, v_3, v_5\}$
- $N(5) = \{v_2, v_3, v_4\}$

- $L(G) = \begin{bmatrix} 3 & -1 & -1 & -1 & 0 \\ -1 & 4 & -1 & -1 & -1 \\ -1 & -1 & 4 & -1 & -1 \\ -1 & -1 & -1 & 4 & -1 \\ 0 & -1 & -1 & -1 & 3 \end{bmatrix}$



# Пример: Алгоритм Tutte

- Пусть координаты вершин имеют следующие значения:
- $v_1 = (3, 6)$ ,  $v_2 = (0, 3)$ ,  $v_3 = (4, 1)$ .
- 
- Соответствующая система линейных уравнений для вычисления  $x$ -координат вершин  $v_4$  и  $v_5$  через известные  $x$ -координаты вершин  $v_1$ ,  $v_2$  и  $v_3$  имеет вид:
- $L_{41} v_{1x} + L_{42} v_{2x} + L_{43} v_{3x} + L_{44} v_{4x} + L_{45} v_{5x} = 0$   
(2)
- $L_{51} v_{1x} + L_{52} v_{2x} + L_{53} v_{3x} + L_{54} v_{4x} + L_{55} v_{5x} = 0$   
(3)

# Пример: Алгоритм Tutte

- В соответствии с нашим выбором  $v_{1x} = 3, v_{2x} = 0, v_{3x} = 4$ .
- $L_{44}$  равно степени вершины 4, то есть четырем, все остальные  $L_{4i}$  равны минус единице.  $L_{55}$  равно степени вершины 5, то есть трем,  $L_{51}$  равно нулю, поскольку  $v_5$  и  $v_1$  не связаны ребром, все остальные  $L_{5j}$  равны минус единице. Подставив эти значения, получим два выражения:
  - $-1 * 3 + (-1) * 0 + (-1) * 4 + 4 v_{4x} + (-1) * v_{5x} = 0$
  - $0 * 3 + (-1) * 0 + (-1) * 4 + (-1) * v_{4x} + 3 * v_{5x} = 0$
  -
- В результате имеем систему уравнений:
  - $4v_{4x} - 7 = v_{5x}$
  - $-v_{4x} + 3v_{5x} = 4$
- Решением этой системы будут  $v_{4x} = 25/11, v_{5x} = 23/11$ .

# Пример: Алгоритм Tutte

Точно так же  $y$ -координаты вершин  $v_4$  и  $v_5$  вычисляются через известные  $y$ -координаты вершин  $v_1$ ,  $v_2$  и  $v_3$ :

- $L_{41} v_{1y} + L_{42} v_{2y} + L_{43} v_{3y} + L_{44} v_{4y} + L_{45} v_{5y} = 0$

- $L_{51} v_{1y} + L_{52} v_{2y} + L_{53} v_{3y} + L_{54} v_{4y} + L_{55} v_{5y} = 0$

- 

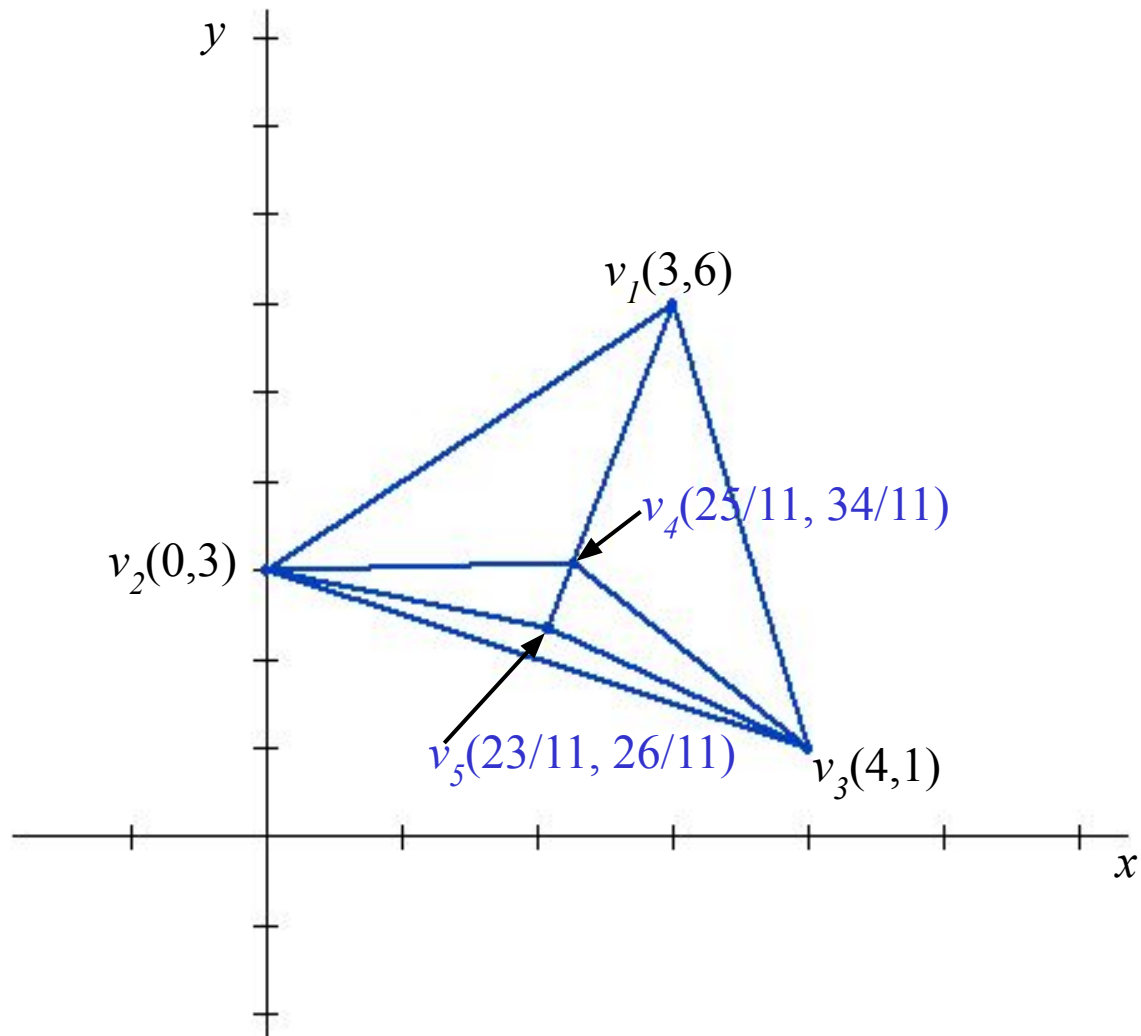
- Стало быть, система уравнений имеет вид:

- $4v_{4y} - v_{5y} = 10$

- $-v_{4y} + 3v_{5y} = 4,$

- Решением системы будут  $v_{4y} = 34/11$  и  $v_{5y} = 26/11$ .

# Пример: Алгоритм Tutte



## Algorithm Barycenter-Draw

Вход: разбиение множества вершин  $V$ ,

$V_0$ : не менее 3 фиксированных вершин

$V_1$ : множество свободных вершин

Строго выпуклый многоугольник  $P$  с  $V_0$  вершинами

Выход: размещение  $p_v$

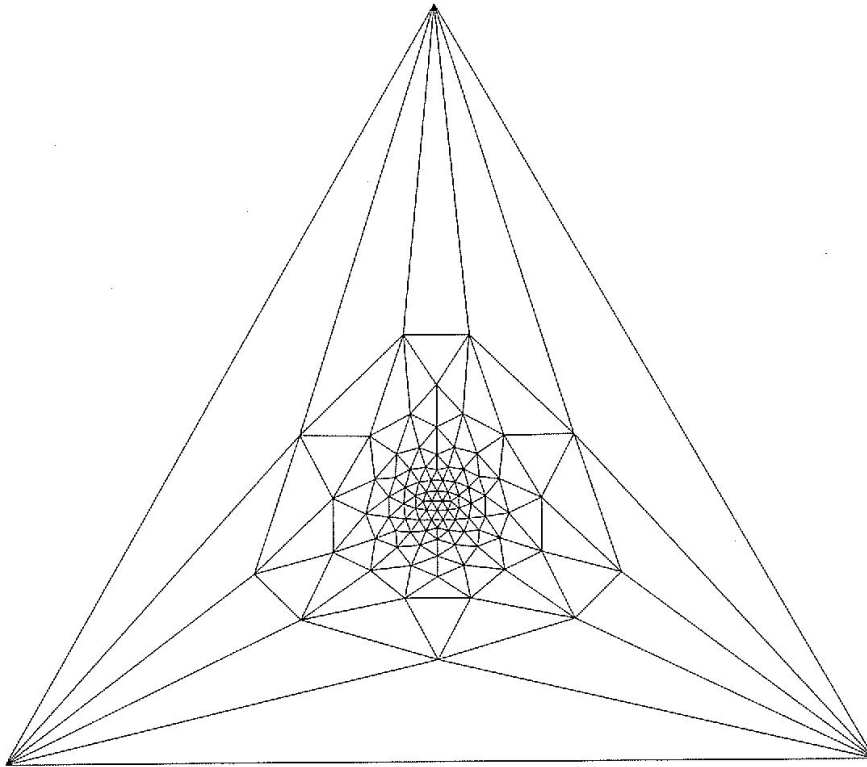
1. Поместить вершины  $u \in V_0$  в вершины многоугольника  $P$ , а каждую свободную вершину в начало координат
2. repeat
  - foreach свободной вершины  $v \in V_1$  do
  - $x_v = 1/\deg(v) \sum_{(u,v) \in E} x_u$
  - $y_v = 1/\deg(v) \sum_{(u,v) \in E} y_u$
  - until  $x_v$  and  $y_v$  сходятся для всех свободных вершин  $v$ .



## Метод барицентров(алгоритм Tutte,63)

- Основная теорема, доказанная Tutte (1963) утверждает, что барицентрическое размещение 3-связных планарных графов является планарным, все грани являются выпуклыми, если вершины одной грани в единственной планарной укладке зафиксированы на границе выпуклого многоугольника в соответствующем порядке. Такое размещение может быть получено за время  $O(n \log n)$ .

# Пример размещения, полученного методом барицентров



- 1) Применим только для трехсвязных графов
  - 2) Одним существенным недостатком этого метода является то, что результирующее изображение часто имеет плохую вершинную резолуцию.
- Для любого  $n > 1$  существует граф такой, что метод барицентров вычисляет для него изображение экспоненциальной площади.

# Ускорение силовых алгоритмов

- Экспериментальное сравнение базового алгоритма Fruchterman-Reingold, алгоритма GEM (Frick et al.), метода the Kamada and Kawai, simulated annealing метода Davidson and Harel , осуществлялось Brandenburg et al. в 1995 году. Эксперименты показали, что все алгоритмы генерировали сравнительно хорошие размещения для небольших графов размера  $(|V| + |E|) < 180$  менее чем за 2 минуты.
- Для больших графов они не очень подходят. Например, GEM требовал в тот момент 71 секунду для построения изображения графа, содержащего 256 вершин и представлявшего собой регулярную квадратную сетку. Оценка времени работы для графа, содержащего 25600 вершин, на таком же компьютере потребовало бы более двух лет.
- Понятно, что исследователи стали искать новые идеи позволявшие применять силовые алгоритмы для построения изображений больших графов.